

Bild C3: 16 visuell gleichabständige L\*-Graustufen; PS-Operator: 000n\* setcmykcolor

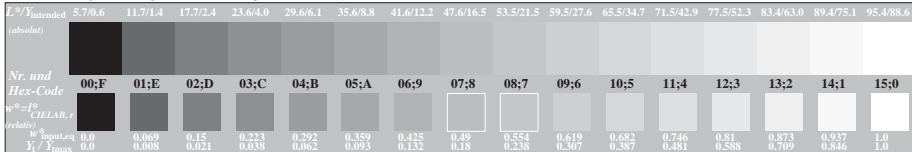


Bild C3: 16 visuell gleichabständige L\*-Graustufen; PS-Operator: 000n\* setcmykcolor

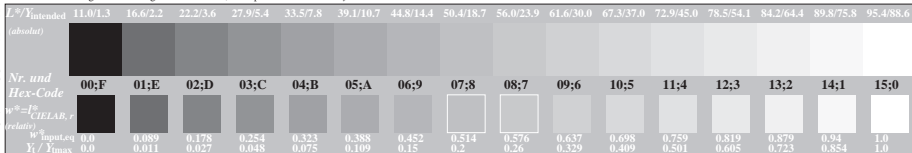


Bild C3: 16 visuell gleichabständige L\*-Graustufen; PS-Operator: 000n\* setcmykcolor

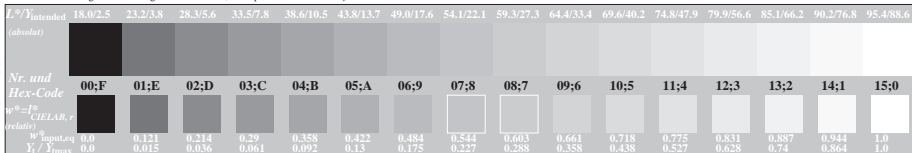


Bild C3: 16 visuell gleichabständige L\*-Graustufen; PS-Operator: 000n\* setcmykcolor

Siehe ähnliche Dateien: <http://www.ps.bam.de/CG60/>  
 Technische Information: <http://www.ps.bam.de/9241>

Yw:Yh = 88,6 : 0,6

Yw:Yh = 88,6 : 1,3

Yw:Yh = 88,6 : 2,5

$L^*_{w,i} : \eta_n = 95,4 : 5,7$

$L^*_{w,i} : \eta_n = 95,4 : 11,0$

$L^*_{w,i} : \eta_n = 95,4 : 18,0$

BAM-Registrierung: 20040101-CG60/10Q/Q60G00F1.PS/TXT BAM-Material-Code=thada  
 Anwendung für unbunte Displayausgabe mit CIE L\*a\*b Kontrastbereich

$L^*/Y_{intended}$ (absolut)	26.8/5.0	31.4/6.8	36.0/9.0	40.6/11.6	45.1/14.6	49.7/18.2	54.3/22.2	58.8/26.9	63.4/32.1	68.0/38.0	72.6/44.5	77.1/51.7	81.7/59.7	86.3/68.5	90.8/78.1	95.4/88.6
Nr. und Hex-Code	00:F	01:E	02:D	03:C	04:B	05:A	06:9	07:8	08:7	09:6	10:5	11:4	12:3	13:2	14:1	15:0
$w^* = \frac{L^*}{Y_{intended}}$ $\frac{CIE_{LAB, r}}{r}$ (relativ)																
$\frac{W_{input, eq}}{Y_i / Y_{max}}$	0.0	0.154	0.253	0.332	0.4	0.462	0.521	0.577	0.633	0.687	0.741	0.794	0.845	0.897	0.948	1.0

Bild C3: 16 visuell gleichabständige L\*-Graustufen; PS-Operator: 000n\* setcmykcolor

$L^*/Y_{intended}$ (absolut)	38.0/10.1	41.8/12.4	45.6/15.0	49.5/18.0	53.3/21.3	57.1/25.1	61.0/29.2	64.8/33.8	68.6/38.8	72.4/44.3	76.3/50.3	80.1/56.9	83.9/63.9	87.8/71.6	91.6/79.8	95.4/88.6
Nr. und Hex-Code	00:F	01:E	02:D	03:C	04:B	05:A	06:9	07:8	08:7	09:6	10:5	11:4	12:3	13:2	14:1	15:0
$w^* = \frac{L^*}{Y_{intended}}$ $\frac{CIE_{LAB, r}}{r}$ (relativ)																
$\frac{W_{input, eq}}{Y_i / Y_{max}}$	0.0	0.191	0.294	0.373	0.441	0.503	0.56	0.615	0.667	0.717	0.766	0.814	0.862	0.908	0.954	1.0

Bild C3: 16 visuell gleichabständige L\*-Graustufen; PS-Operator: 000n\* setcmykcolor

$L^*/Y_{intended}$ (absolut)	52.0/20.2	54.9/22.8	57.8/25.8	60.7/28.9	63.6/32.3	66.5/36.0	69.4/39.9	72.3/44.1	75.2/48.5	78.1/53.3	80.9/58.4	83.8/63.8	86.7/69.5	89.6/75.5	92.5/81.9	95.4/88.6
Nr. und Hex-Code	00:F	01:E	02:D	03:C	04:B	05:A	06:9	07:8	08:7	09:6	10:5	11:4	12:3	13:2	14:1	15:0
$w^* = \frac{L^*}{Y_{intended}}$ $\frac{CIE_{LAB, r}}{r}$ (relativ)																
$\frac{W_{input, eq}}{Y_i / Y_{max}}$	0.0	0.226	0.338	0.419	0.487	0.547	0.603	0.654	0.702	0.748	0.793	0.836	0.878	0.92	0.959	1.0

Bild C3: 16 visuell gleichabständige L\*-Graustufen; PS-Operator: 000n\* setcmykcolor

$L^*/Y_{intended}$ (absolut)	69.7/40.3	71.4/42.8	73.1/45.4	74.8/48.0	76.6/50.8	78.3/53.7	80.0/56.6	81.7/59.7	83.4/62.9	85.1/66.3	86.8/69.7	88.6/73.2	90.3/76.9	92.0/80.7	93.7/84.6	95.4/88.6
Nr. und Hex-Code	00:F	01:E	02:D	03:C	04:B	05:A	06:9	07:8	08:7	09:6	10:5	11:4	12:3	13:2	14:1	15:0
$w^* = \frac{L^*}{Y_{intended}}$ $\frac{CIE_{LAB, r}}{r}$ (relativ)																
$\frac{W_{input, eq}}{Y_i / Y_{max}}$	0.0	0.266	0.38	0.466	0.534	0.592	0.645	0.693	0.739	0.781	0.821	0.86	0.896	0.932	0.966	1.0

Bild C3: 16 visuell gleichabständige L\*-Graustufen; PS-Operator: 000n\* setcmykcolor